

## РЕЗОНАНСНОЕ ВТОРИЧНОЕ СВЕЧЕНИЕ $\text{Se}_2^-$ В KI

Л.А.Ребане, Т.Ю.Халдре

На примере  $\text{Se}_2^-$  в KI впервые измерен полный спектр резонансного вторичного свечения. Проведено количественное сопоставление с теоретическими моделями, выделены части резонансного комбинационного рассеяния, горячей и обычной люминесценции. Наблюдено предсказанное теорией немонотонное распределение сечения рассеяния обертонов комбинационного рассеяния.

Теоретическое рассмотрение двухфотонного процесса взаимодействия света с веществом показало [1 – 3], что возникающее в результате резонансное вторичное свечение (РВС) должно содержать компоненты излучения, отражающие различные этапы преобразования поглощенного фотона в веществе. Спектр РВС, был рассчитан для разных моделей примесного центра в кристалле [2, 4], и в тех случаях, когда модель включала быструю колебательную релаксацию, в спектре РВС оказывалось возможным выделить три основных компонента: обычную люминесценцию (ОЛ), которая излучается центром после установления теплового равновесия с кристаллом, горячую люминесценцию (ГЛ), которая излучается с возбужденных колебательных уровней в ходе колебательной релаксации [5], и резонансное комбинационное рассеяние (РКР), которое входит в общий поток РВС.

В настоящей работе на примере  $\text{Se}_2^-$  в KI впервые зарегистрирован полный спектр РВС, проведено выделение его трех основных компонент и количественное сопоставление с теоретическими моделями.

Наиболее характерные спектры, допускающие надежную и простую интерпретацию, получены в модели примесного центра, учитывающей одно выделенное локальное колебание, положение равновесия которого и частота изменяются при электронном переходе [4]. Модель учитывает распад локального колебания на кристаллические путем введения лоренцевой ширины вибронных уровней. В адиабатическом и кондонаовском приближениях, при низкой температуре модель предсказывает появление в спектре РВС двух серий вибронных переходов по локальному колебанию [6]: чисто электронной линии и ее вибронных повторений в спектре ОЛ и релеевской линии и ее вибронного повторения в спектре РКР. Спектр ГЛ следует ожидать в виде наложения серий вибронных переходов, начинающихся от каждого из вибронных уровней возбужденного состояния центра, заселенных в ходе колебательной релаксации.

Выбор в качестве "модельной системы" примесного центра  $\text{Se}_2^-$  в кристалле KI основывался на следующем: во-первых, полоса примесного поглощения (450 – 600 нм) допускает резонансное лазерное возбуждение несколькими линиями; во-вторых, единственное внутримолекулярное колебание образует выделенное локальное колебание примесного центра.

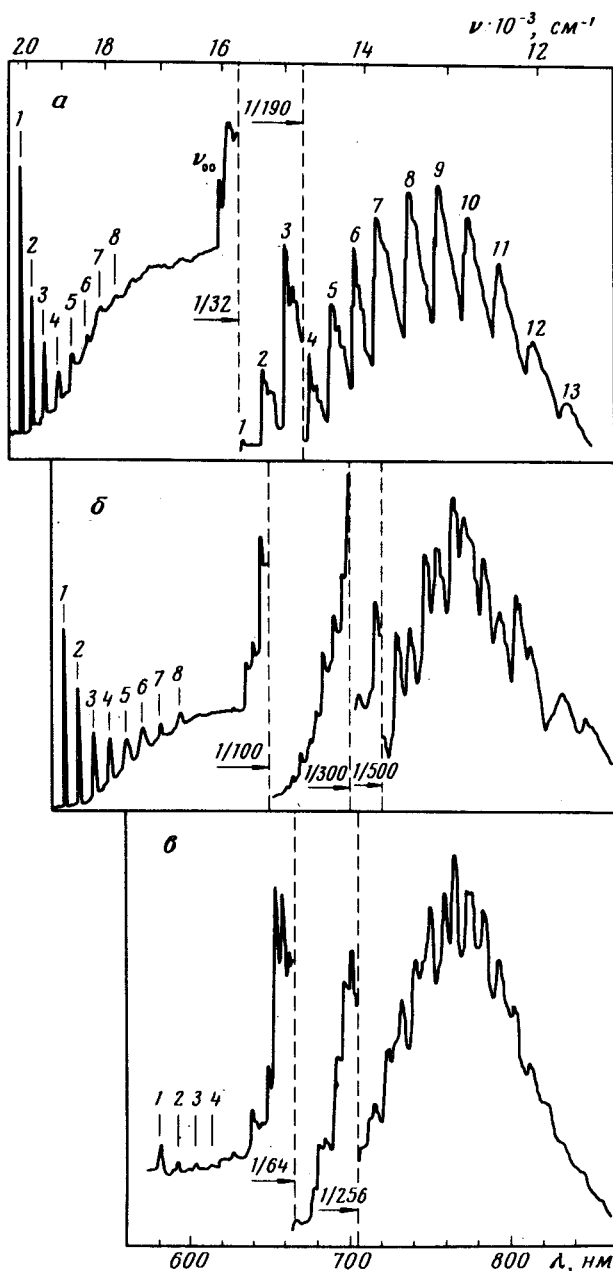


Рис. 1. Спектры РВС кристалла  $\text{KI}-\text{Se}_2^-$  при 5 К и возбуждении лазерными линиями:  
 $a$  – возбуждение  $20486 \text{ cm}^{-1}$  на 22-й вибронный уровень (линия  $4880 \text{ \AA}$ ,  $0,8 \text{ вт}$ );  $b$  – возбуждение  $19430 \text{ cm}^{-1}$  на 16-й уровень (линия  $5145 \text{ \AA}$ ,  $0,5 \text{ вт}$ );  $c$  – возбуждение  $17595 \text{ cm}^{-1}$  на 7-й уровень (линия  $5682 \text{ \AA}$ ,  $0,2 \text{ вт}$ )

На рис. 1 приведены спектры РВС кристалл  $\text{KI}-\text{Se}_2^-$  при трех различных возбуждениях в резонансе с полосой поглощения  ${}^2\Pi_u \leftarrow {}^2\Pi_g$  примесной молекулы. Уже на первый взгляд в спектре РВС отчетливо выделяется ОЛ и РКР. Серия полос 0, 1, 2...13, примыкающая с длинноволновой стороны к линии чистоэлектронного перехода  $\nu_{ee}$ , есть вибронные полосы ОЛ. Серия полос, примыкающая к релевской линии, есть линии РКР разных порядков. Интегральная интенсивность всей части РКР составляет  $\sim 10^{-5}$  от интегральной интенсивности ОЛ.

С целью обоснованного выделения спектра ГЛ и сравнения измеренного спектра РВС с рассчитанным на основе модели [4] было необхо-

димо задать разумные параметры центра, что в свою очередь требовало построения адиабатических потенциалов нижних электронных состоя-

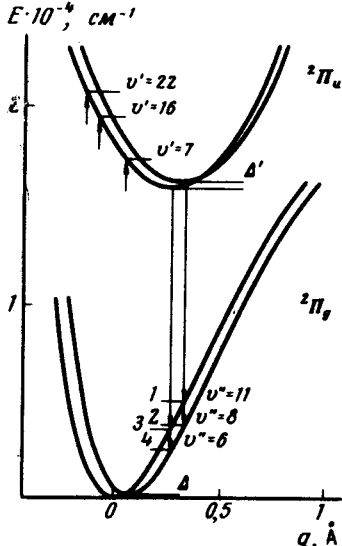


Рис. 2. Адиабатические потенциалы центра  $\text{Se}_2^-$  в KI. Орбитальное расщепление основного и возбужденного электронных состояний  $\Delta$  и  $\Delta'$  равны  $220$  и  $152 \text{ cm}^{-1}$ , соответственно. Стрелки 1, 2, 3 и 4 соответствуют максимумам четырех вибронных серий в спектре ОЛ

Электронные состояния центров образованных изоэлектронными ионами  $\text{O}_2^+$ ,  $\text{S}_2^-$  и  $\text{Se}_2^-$  во многом аналогичны [6]. Основное электронное состояние  ${}^2\text{P}_g$  является орбитально вырожденным и при ориентации оси молекулы вдоль  $<110>$  расщепляется в кристаллическом поле на два подуровня. В спектре ОЛ центров  $\text{O}_2^-$  и  $\text{S}_2^-$  переходы на эти два подуровня видны как две вибронные серии. В спектре  $\text{Se}_2^-$  наблюдается еще третья вибронная серия, интенсивность которой меняется в зависимости от частоты возбуждения (ср. рис. 1, а, б и в). Появление третьей серии было отнесено за счет расщепления возбужденного электронного состояния  ${}^2\text{P}_u$ . Было проведено разделение трех вибронных серий в спектре ОЛ и определены площади отдельных полос, характеризующие согласно принципу Франка – Кондона вероятности отдельных вибронных переходов. Построенные с их помощью адиабатические потенциалы показаны на рис. 2. Адиабатические потенциалы основного электронного состояния  $U_g^{(1,2)}$  были взяты в виде потенциалов Морзе и возбужденного состояния  $U_u^{(1,2)}$  – в виде параболы.

$$U_g^{(1)}(\text{cm}^{-1}) = 2,7 \cdot 10^4 [1 - \exp(-1,6q)]^2, \quad U_u^{(1)}(\text{cm}^{-1}) = 16040 + 2,55 \cdot 10^4 (q - 0,27)^2$$

$$U_g^{(2)}(\text{cm}^{-1}) = 220 + 2,7 \cdot 10^4 [1 - \exp(-1,6q + 0,11)]^2, \quad U_u^{(2)}(\text{cm}^{-1}) = 16192 + 2,55 \cdot 10^4 (q - 0,33)^2. \quad (1)$$

Частоты  $\omega_g$  и  $\omega_u$  получены на основе вибронной структуры спектров люминесценции и поглощения [7]. Сдвиг минимумов по оси энергий  $\Delta$  и  $\Delta'$  получен из относительных смещений вибронных серий. Сдвиг положений равновесия – из различия стоксовых потерь в сериях (1) и (2).

Появление в спектре ОЛ трех, а на четырех вибронных серий, как следует из рис. 2, связано с тем, что частоты вибронных переходов серий (2) и (3) очень мало отличаются.

С этими параметрами были сосчитаны спектры РВС в области ГЛ и РКР. Согласно [4], интенсивность перехода  $v' \rightarrow v''$  дается выражением

$$I_{v''}^M v' \sim \frac{\xi^{2(M+v''+v')} v'! v'' v''-n v''-n-l}{M!} \sum_{h=0} \sum_{l=0} \sum_{l'=0} (-1)^{l+l'} \times$$

$$\times \frac{\xi^{(-2)(2n+l+l')}}{n! l! l'! (v''-l-l'-n)! (v'-l-n)! (v'-l'-n)!},$$

где  $\xi^{(2)}$  – безразмерные стоковые потери (принято  $\xi^2 = 11$ ).  $M$  – определяет номер уровня возбуждения. При  $v' = M$  формула (2) дает интенсивность РКР; при  $0 < v' < M$  получаем переходы ГЛ; при  $v' = 0$  получаем переходы ОЛ.

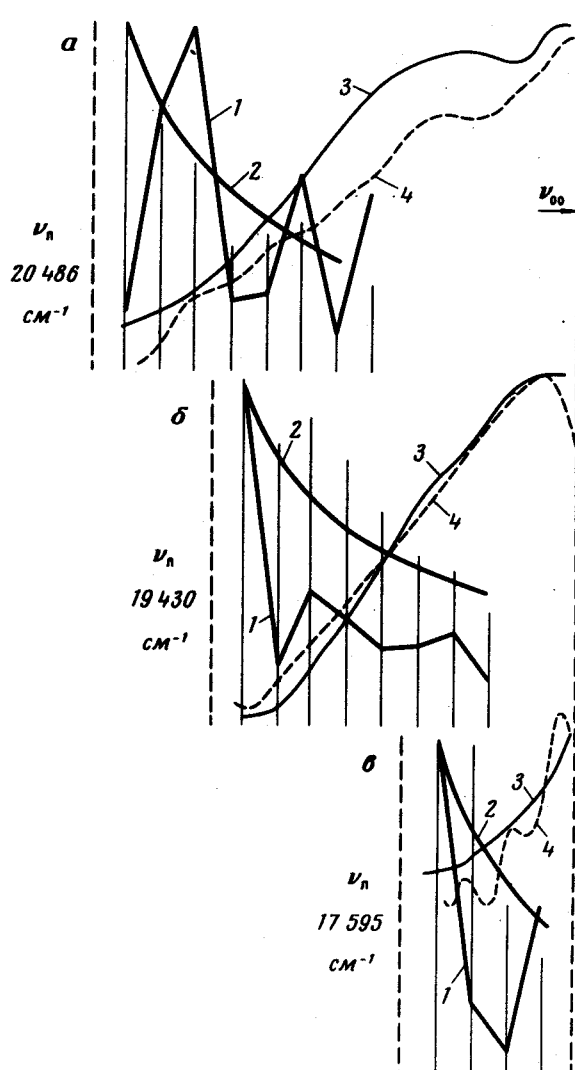


Рис. 3. Экспериментальные и рассчитанные спектры РКР и ГЛ для трех частот возбуждения ( $\alpha$ ,  $\beta$  и  $\gamma$  как на рис. 1). Вертикальные линии соответствуют экспериментальным значениям площадей под полосами РКР на рис. 1. Кривые 1 и 2 – расчет сечений рассеяния по формуле (2) и по модели работы [2]. Кривые 3 и 4 – экспериментальные и рассчитанные по формуле (2) спектры ГЛ

Широкая бесструктурная полоса, располагающаяся на рис. 1 с антистоксовой стороны от  $\nu_0$ , по своему положению в спектре РВС была отнесена за счет ГЛ. На рис. 3 она отделена от двух других компонентов спектра. На этом же рисунке приведены результаты теоретического расчета ГЛ. Видно, что теоретический спектр ГЛ хорошо согласуется с измеренным. Вибронная структура в теоретическом спектре ГЛ видна только для  $\nu' = 7$ . Отсутствие явной вибронной структуры полосы ГЛ при возбуждении на  $\nu' = 16$  и 22 вызвано суперпозицией большого числа вибронных переходов, каждый из которых согласно модели имеет ширину.

Примечательна резкая немонотонность распределения сечения рассеяния обертонов РКР. В теоретическом спектре в рамках модели [4], она является естественным результатом различия вероятностей вибронных переходов, заданных адиабатическими потенциалами центра. В согласии с экспериментом относительный минимум сечений в спектре РКР для  $\nu' = 16$  приходится на  $\nu'' = 2$ ; а для  $\nu' = 22$  расчет и эксперимент дают относительные минимумы при  $\nu'' = 4$  и 7. На рис. 3 приведено также распределение сечений рассеяния, вычисленное в модели центра с широкой бесструктурной электронно-колебательной полосой [2]. Видно, что эта модель передает общий ход зависимости лишь в случае возбуждения на краю полосы резонансного поглощения (для  $\nu' = 7$ ).

Институт физики  
Академии наук Эстонской ССР

Поступила в редакцию  
28 июля 1977 г.

## Литература

- [1] K.Rebane, V.Hizhnyakov, I.Tehver. ENSV TA Toimetised Füüs.— Mat., 16, 207, 1967.
- [2] К.К.Ребане, В.В.Хижняков. Вторичное свечение примесного центра — люминесценция, горячая люминесценция и рассеяние. Препринт FAI = 28, Тарту 1973.
- [3] V.Hizhnyakov, I.Tehver. Phys. Stat. Sol., 21, 755, 1967.
- [4] V.Hizhnyakov, I.Tehver. Phys. Stat. Sol., 39, 67, 1970.
- [5] K.Rebane, P.Saari. Hot Luminescence and Relaxation Processes in the Centres of Luminescence. Preprint FI-42, Tartu 1976.
- [6] K.Rebane, L.Rebane. J.Pure and Appl. Chem., 37, 161, 1974.
- [7] G.J.Vella, J.Rolfe. J. Chem. Phys., 61, 41, 1974.